

การเปรียบเทียบการควบคุมความถี่-โหลดของระบบไฟฟ้าเชื่อมโยง แบบใช้ตัวควบคุมฟัซซีโลจิกและโครงข่ายประสาทเทียม

Comparison of Load-Frequency Control of Interconnected Power System With Fuzzy Logic and Artificial Neural Network Controller

สวัสดิ์ ยุคลัง^{1*}

¹สาขาวิชาวิศวกรรมไฟฟ้า คณะวิศวกรรมศาสตร์ มหาวิทยาลัยเทคโนโลยีราชมงคลล้านนา จังหวัดตาก 63000

บทคัดย่อ

บทความนี้นำเสนอการเปรียบเทียบการควบคุมความถี่ – โหลด ของระบบไฟฟ้าเชื่อมโยงโดยใช้ตัวควบคุมแบบฟัซซีโลจิกและโครงข่ายประสาทเทียม ซึ่งปัจจุบันตัวควบคุมทั้งฟัซซีโลจิกและโครงข่ายประสาทเทียมได้ถูกนำมาใช้อย่างกว้างขวางในเกือบทุกระบบทองการควบคุมรวมถึงงานวิศวกรรม และอุตสาหกรรม เนื่องจากพัฒนาระบบของความถี่ของโหลดระบบไฟฟ้าทั้งที่ไม่มีการควบคุมหรือมีการควบคุมแบบฟื้นฟูหรือแบบฟัซซีโลจิกเป็นตัวควบคุมยังต้องมีความต้องการให้เสถียรภาพของการควบคุมความถี่ของโหลดระบบไฟฟ้าทั้งช่วงเริ่มต้นการจ่ายพลังงานไฟฟ้าและช่วงการจ่ายโหลดให้เข้าสู่สภาพเสถียรได้รวดเร็วมากขึ้น ระบบการควบคุมและตัวควบคุมที่ทำหน้าที่ควบคุมจึงมีความสำคัญเพื่อที่จะดำเนินการปรับปรุงเสถียรภาพของการจ่ายพลังงานไฟฟ้าระบบเชื่อมโยงไฟฟ้าช่วงดังกล่าวให้ยั่งยืน ในงานวิจัยนี้จึงได้ใช้การควบคุมความถี่ของโหลดไฟฟ้าเชื่อมโยงโดยใช้ตัวควบคุมโครงข่ายประสาทเทียมเข้ามาปรับปรุงแก้ไขเป็นตัวควบคุมความถี่เพื่อเปรียบเทียบประสิทธิภาพให้ดีกว่าแบบฟัซซีโลจิก ที่มีการจ่ายกำลังไฟฟ้ารวม 47.55 เมกะวัตต์ โดยมีการเปลี่ยนแปลงโหลดที่โรงไฟฟ้า No.3 เท่ากับ 0.02 ต่อหน่วย หรือ 1.75 เมกะวัตต์

Abstract

This paper is a presentation of the Load-Frequency Control (LFC) of Interconnected Power System by using Fuzzy Logic and Artificial Neural Network (ANN) Controller. The both of controller have been widely applied for handling the system control of Industries and Engineering. Since the Load-Frequency behaviors of power system of uncontrolled and PI- Controller or Fuzzy Logic Controller (FLC) wanted to the stability at first of energize and load in a short time. The control system and controller then be significant for to go forward reform stability of interconnected energize power system a short time. In this research we have the Load-Frequency Controller of Interconnected Power System by using Artificial Neural Network Controller the improved can compared with conventional Fuzzy Logic Controller at power total 47.55 MW and load changing of power plan No.3 is 0.02 p.u. (1.75 MW)

คำสำคัญ : การควบคุมความถี่ - โหลด ฟัซซี โลจิก โครงข่ายประสาทเทียม ระบบไฟฟ้าเชื่อมโยง

Keywords : Load Frequency Control, Fuzzy Logic, Artificial Neural Network, Interconnected Power System

*ผู้นิพนธ์ประธานงานประชุมนี้คือเล็กทรอนิกส์ yu_sawat@hotmail.com โทร. 0 5551 1962

1. บทนำ

ในระบบจำหน่ายไฟฟ้าการควบคุมการจ่ายกำลังไฟฟ้าเพื่อให้ระบบอยู่ในสภาพเสถียรภาพนั้นมีความสำคัญ การควบคุมความถี่หลอดที่ผ่านมามีการนำเสนอการควบคุมความถี่โดยระบบควบคุมเย็นเรตเตอร์อัตโนมัติและการใช้ตัวควบคุมแบบพีไอรวมถึงปัญหาของการควบคุมแบบพี-ไอในแบบสองพื้นที่อย่างไรก็ได้การออกแบบตัวควบคุมที่เหมาะสมทั้งแบบการใช้ตัวควบคุมแบบพีไอและการควบคุมความถี่-โหลดของระบบไฟฟ้าเชื่อมโยงแบบสองพื้นที่โดยใช้ตัวควบคุมฟซชีลوجิกรรมถึงการใช้โครงข่ายประสาทเทียมที่นำมาใช้เปรียบเทียบสำหรับโรงพลังงานความร้อนและพลังงานน้ำเพื่อลดการแก่วงของระบบเมื่อเกิดการเปลี่ยนแปลงของโหลดอย่างทันทีทันใด จึงมีความจำเป็นในการพิจารณาระบบทัวควบคุมความถี่-โหลดของสองพื้นที่โดยเปรียบเทียบตัวควบคุมแบบพีไอกับฟซชีลوجิกรรมถึงการใช้โครงข่ายประสาทเทียมกับงานควบคุมไฟฟ้าแบบอื่นและตัวควบคุมอัตโนมัติของระบบที่จะทำให้เป็นระบบควบคุมแบบอัจฉริยะของเครื่องกำเนิดจึงได้มีการเปรียบเทียบกับโครงข่ายประสาทเทียมโดยการจำลองรูปแบบตัวควบคุมเป็นแบบ Hybrid Fuzzy Neural Network (HFNN) เชื่อมโยงระบบไฟฟ้ากำลังแบบสองพื้นที่การเปรียบเทียบตัวควบคุมเหล่านี้จึงรวมถึงการปรับปรุงระบบการควบคุมและปัญหาผลกระทบจากการใช้ตัวควบคุมความถี่หลอดเพื่อเปรียบเทียบการใช้ตัวควบคุม ซึ่งอยู่บนพื้นฐานของแบบจำลองทางคณิตศาสตร์โดยใช้โปรแกรม Simmulink/Matlab ตามลำดับ

องค์ประกอบของการนำเสนอที่ความนี้ประกอบด้วย การออกแบบตัวควบคุมโครงข่ายประสาทเทียมที่เหมาะสมสำหรับการควบคุมความถี่-โหลด โดยการการเปรียบเทียบการเรียนรู้ความสัมพันธ์อนุกรมอินพุตกับເອົາຫຼຸດ เพื่ออัพเดทค่าหนักถ่วง (Weight Update) จากค่าผิดพลาดหั้งหมดที่เกิดขึ้น เพื่อใช้ในการเข้าสู่จุดต่อสุดของฟังก์ชันประเมินผล จำลองทางคอมพิวเตอร์แสดงให้เห็นว่าตัวควบคุมโครงข่ายประสาทเทียม ที่ออกแบบมีสมรรถนะในการควบคุมความถี่และความคงทนต่อการเปลี่ยนแปลงพารามิเตอร์ของระบบได้ดีกว่าตัวควบคุมแบบฟซชีลوجิก สุดท้ายจะกล่าวถึงบทสรุปและข้อเสนอแนะต่างๆ สำหรับงานวิจัยลำดับต่อไป

2. วิธีการทดลอง

2.1 รูปแบบการควบคุมระบบไฟฟ้ากำลังแบบสองพื้นที่

2.1.1 ระบบควบคุมแบบสองพื้นที่ทั่วไป

ในการศึกษาและพิจารณาระบบทัวควบคุมแบบสองพื้นที่ประกอบไปด้วยการเขื่อมโยงดังรูปที่ 1 ซึ่งเป็นการควบคุมเครื่องกำเนิดแบบอัตโนมัติดังสมการ

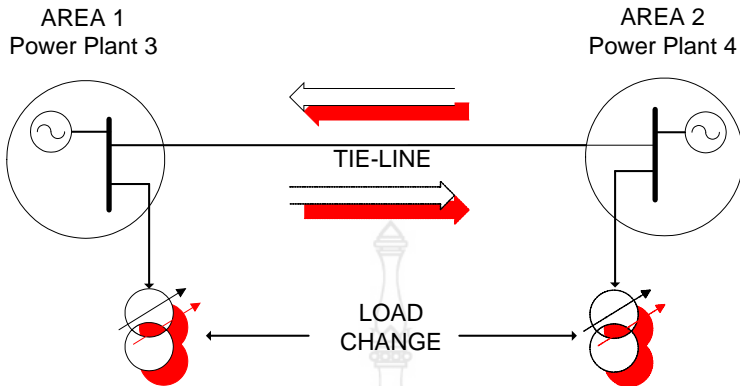
$$\dot{x}(t) = Ax(t) + Bu(t) + \Gamma P(t) \quad (1)$$

เมื่อ

A คือ ค่าคงที่เมทริกซ์, B และ C คือ ค่าคงที่ของเมทริกซ์ด้านขวา

$$\begin{aligned} x(t) &= [x_1 \ x_2 \ \dots \ x_7]^T \\ &= [\Delta f_1 \ \Delta f_2 \ \Delta p_{g1} \ \Delta p_{g2} \ \Delta X_{E1} \ \Delta X_{E2} \ \Delta P_{tie}]^T \end{aligned} \quad (2)$$

เมื่อ Δf_1 คือ ความถี่ที่เปลี่ยนแปลงของพื้นที่ที่หนึ่ง Δp_{g1} คือ กำลังทางกลที่เปลี่ยนแปลงของพื้นที่ที่หนึ่ง ΔX_{E1} คือ ค่าตำแหน่งควบคุมที่เปลี่ยนแปลงของพื้นที่ที่หนึ่ง Δf_2 คือ ความถี่ที่เปลี่ยนแปลงของพื้นที่สอง Δp_{g2} คือ กำลังทางกลที่เปลี่ยนแปลงของพื้นที่สอง ΔX_{E2} คือ ค่าตำแหน่งควบคุมที่เปลี่ยนแปลงของพื้นที่สอง Δp_{tie} คือ ค่ากำลังไฟฟ้าที่เปลี่ยนแปลงในการเขื่อมโยงของสองพื้นที่



รูปที่ 1 ไดอะแกรมทั่วไปของระบบไฟฟ้ากำลังแบบสองพื้นที่

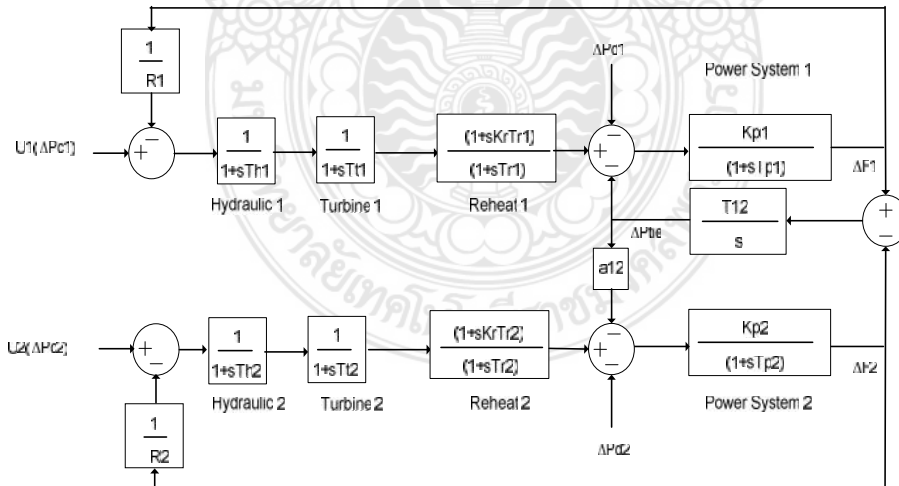
ขั้นแรกของการควบคุมการเชื่อมโยงของสองพื้นที่ คือการทำให้ค่ากำลังไฟฟ้าของระบบเชื่อมโยงสมดุลเพื่อรักษาค่าความถี่ให้คงที่และทำให้พื้นที่ควบคุม(ACE) แต่ละพื้นที่เป็นศูนย์ตามสมการ

$$u(t) = [\Delta P_{C1} \quad \Delta P_{C2}]^T \quad (3)$$

$$P(t) = [\Delta P_{d1} \quad \Delta P_{d2}]^T \quad (4)$$

$$ACE_i = \sum_{j=1}^{\infty} \Delta P_{tie,ij} + b_i \Delta f_i \quad (5)$$

เมื่อ B_i คือ ค่าสัมประสิทธิ์ความถี่ป้อนกลับของพื้นที่ $\Delta P_{tie,ij}$ คือ ค่ากำลังไฟฟ้าที่เปลี่ยนแปลงไปในการเชื่อมโยงของสองพื้นที่ และมีบล็อกไดอะแกรมฟังก์ชันต่างๆอยู่ทั้งแบบไม่มีการควบคุมและมีการควบคุมดังรูปที่ 2

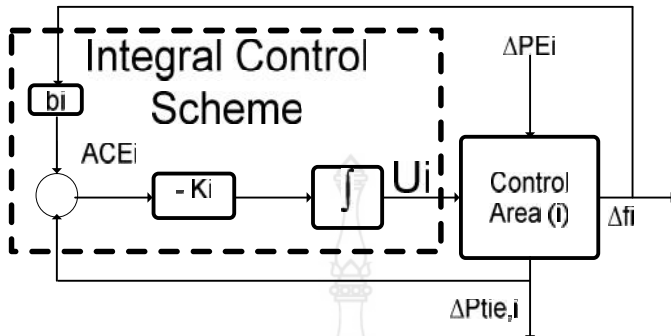


รูปที่ 2 บล็อกไดอะแกรมของวงจรการควบคุมแบบสองพื้นที่

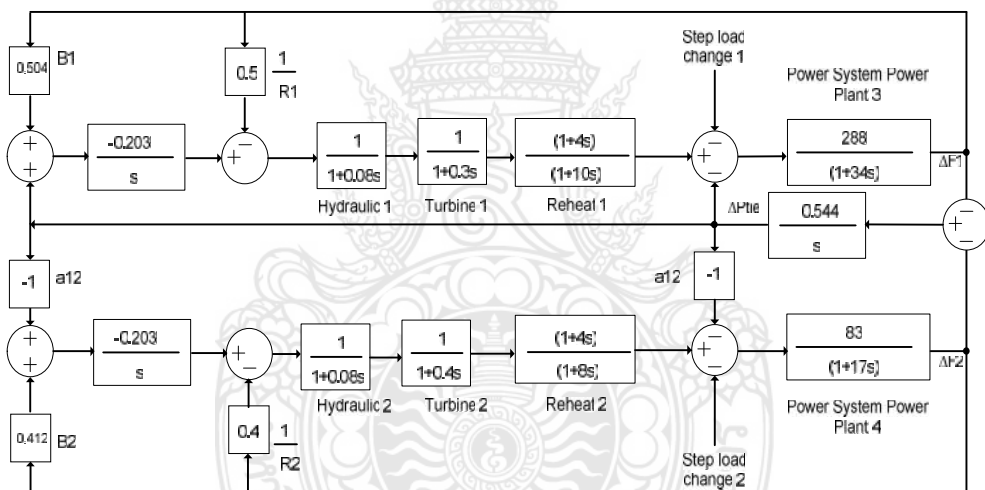
2.1.2 ระบบควบคุมแบบสองพื้นที่ที่ใช้พีไอเป็นตัวควบคุม

ในการเชื่อมโยงกันในระบบของสองพื้นที่ เมื่อใช้การควบคุมแบบอินทิเกรต (Proportional Integral Controller) ดังสมการควบคุม

$$U_i = -K_i \int_0^t (ACE_i) dt = K_i \int_0^t (\Delta P_{tie,i} + b_i \Delta f_i) dt \quad (6)$$



รูปที่ 3 รูปวงจรควบคุมแบบ PI Controller



รูปที่ 4 รูปปั๊ดอะแกรมวงจรควบคุมแบบ PI Controller

2.1.3 ระบบควบคุมแบบสองพื้นที่ที่ใช้พัชซีลوجิกเป็นตัวควบคุม

ในการเขื่อมโยงกันในระบบของสองพื้นที่เมื่อใช้การควบคุมแบบพัชซี (Fuzzy Logic Controller) ประกอบไปด้วยสามขั้นตอน คือ

- 1) Fuzzification เป็นขั้นตอนการแปลงค่าตัวแปรผ่าน Membership .
 - 2) Inference Engine เป็นขั้นตอนการวินิจฉัยผลลัพธ์ว่าควรจะอยู่ในช่วงใดได้แก่ แกวิธี Center of Area, Maximum
 - 3) De-Fuzzification เป็นขั้นตอนการแปลงตัวแปรที่ซึกลับสู่ค่าตัวแปรโดยผ่าน Membership
- สำหรับการควบคุมความถี่-โหลดโดยการสมมุติฐานผลตอบสนองค่าตัวแปรผิดพลาด(e) และความแตกต่างของข้อผิดพลาด(ce) ดังสมการควบคุม

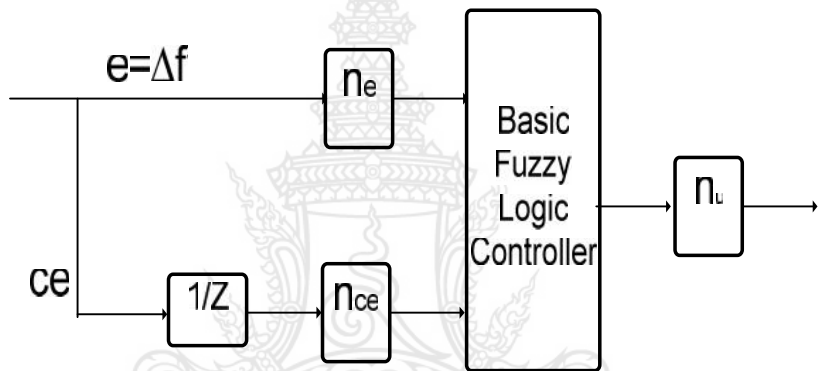
$$\Delta P_c = F[n_e \ e(k), n_{ce} \ ce(k)] \quad (7)$$

วารสารวิชาการและวิจัย มทร.พระนคร ฉบับพิเศษ
การประชุมวิชาการมหาวิทยาลัยเทคโนโลยีราชมงคล ครั้งที่ 5

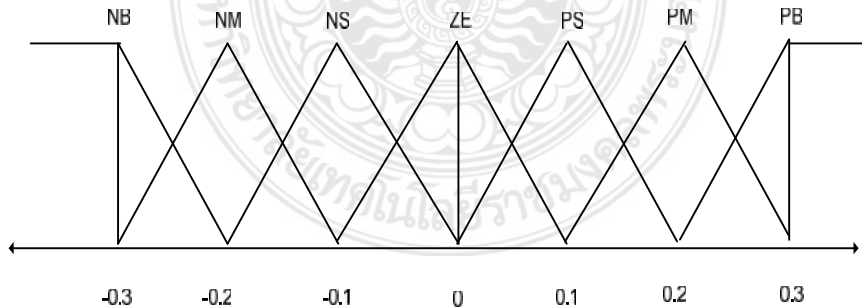
เมื่อค่าตัวแปร pid พลัดเท่ากับค่าเบี่ยงเบนความถี่ (Δf) กำลังไฟฟ้าจริงของระบบ คือ ความแตกต่างระหว่าง ความถี่กำลังไฟฟ้าจริงของระบบ (f) และ แผนกำหนดการของความถี่กำลังไฟฟ้า (f_n) โดยให้ n_e และ n_{ce} เป็นค่า pid พลัดและการเปลี่ยนแปลงอัตราหน่วงความผิดพลาดตามลำดับ และพื้นที่ฟังก์ชันแบบไม่เชิงเส้น (F) การควบคุมแบบฟื้นฟูจะอธิบายว่าอัตราหน่วงทางด้านเข้าด้วยรูปที่ 5 และอัตราหน่วงทางด้านออกที่ควบคุมคือ n_u และ Z เป็นค่าอันดับสูงสุดของ Membership ในตารางให้เข้าด้วยการเปลี่ยนแปลงค่าของสัญญาณควบคุม $e(k)$ และ $ce(k)$ ด้วย การทดลองค่า = 0.02 pu. ดังนี้

$$L(e, ce) = \{NB, NM, NS, ZE, PS, PM, PE\} \quad (8)$$

เมื่อ NB = Negative Big, NM = Negative Medium, NS = Negative Small, ZE = Zero, PS = Positive Small, PM = Positive Medium, PB = Positive Big



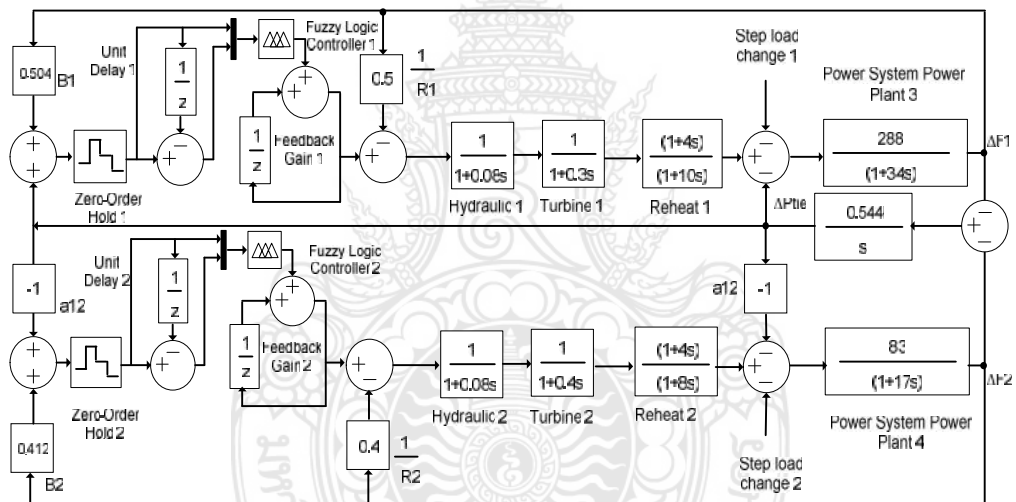
รูปที่ 5 รูปบล็อกไดอะแกรมวงจรควบคุมแบบ Fuzzy Logic Controller



รูปที่ 6 Membership Function ของการควบคุม

ตารางที่ 1 ตารางแสดงค่าพื้นที่ของการควบคุม

In put	$\epsilon(k)$							
	NB	NM	NS	ZE	PS	PM	PB	
ce(k)	NB	PB	PB	PB	PB	PM	PM	PS
	NM	PB	PM	PM	PM	PS	PS	PS
	NS	PM	PM	PS	PS	PS	PS	ZE
	ZE	NS	NS	NS	ZE	PS	PS	PS
	PS	ZE	NS	NS	NS	NS	NM	NM
	PM	NS	NS	NM	NM	NM	NB	NB
	PB	NS	NM	NB	NB	NB	NB	NB



รูปที่ 7 รูปโดยละเอียดของวงจรควบคุมแบบ Fuzzy Logic Controller

2.1.3 ระบบการควบคุมแบบสองพื้นที่ที่ใช้โครงข่ายประสาทเทียมเป็นตัวควบคุม

ใช้หลักการโครงข่ายประสาทเทียมชนิดแพร์กัลบ์ทำการปรับค่าถ่วงน้ำหนักแบบโดยจะทำการเรียนรู้ความสัมพันธ์อนุกรมอินพุตกับเอ้าท์พุตเพื่ออัปเดตค่าน้ำหนักคง (Weight Update) จากค่าผิดพลาดทั้งหมดที่เกิดขึ้น เพื่อใช้ในการเข้าสู่จุดต่ำสุดของฟังก์ชันประเมินผลและเมื่อตัวอย่างถูกป้อนเข้าสู่อินพุตอย่างต่อเนื่องจะหาค่าผิดพลาดของอนุกรมอินพุตและเอ้าท์พุตดังสมการที่ 8 ได้ค่าถ่วงน้ำหนักในรอบถัดไปดังสมการที่ 10 และหากค่าเอ้าท์พุตนิรwon ได้ดังสมการที่ 12 โดยมีวงจรควบคุมโครงสร้างข่ายประสาทเทียมดังรูปที่ 8

$$E = \frac{1}{2} \sum_{j=1}^K (d_{kj} - o_{kj})^2 \quad (9)$$

$$w_{ji}(n+1) = w_{ji}(n) + y y_i(n) u_j(n) \quad (10)$$

$$S_j = \sum_{i=1}^j W_{ji} y_j \quad (11)$$

-varasriwachararak and wachirayon
มทร.พระนคร ฉบับพิเศษ
การประชุมวิชาการมหาวิทยาลัยเทคโนโลยีราชมงคล ครั้งที่ 5

$$O_j = f(S_j + B_j) \quad (12)$$

จากสมการเมื่อ

E คือค่าผิดพลาดรวม

K คือจำนวนของเอาท์พุต

d_{kj} คือค่าที่ต้องการสำหรับตัวอย่างที่ k

$o_{kj} (= y_{kj})$ คือค่าเอาท์พุตที่ jk ของตัวอย่างที่ k

$w_{ji}(n+1)$ คือค่าถ่วงน้ำหนักในรอบถัดไป

$w_{ji}(n)$ คือค่าถ่วงน้ำหนักในรอบปัจจุบัน

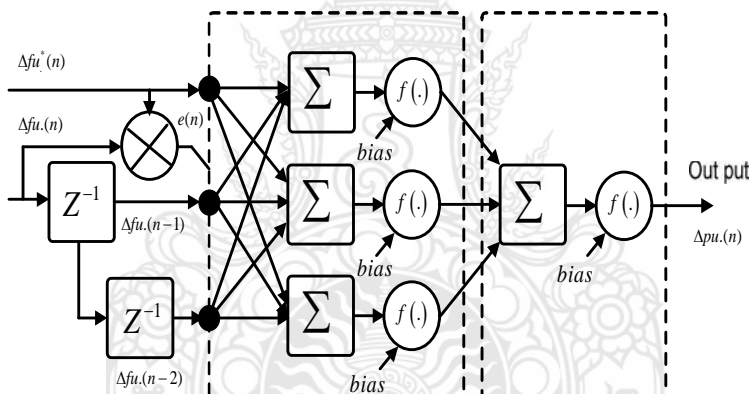
y คืออัตราการเรียนรู้มีค่า 0 ถึง 1

$u_j(n)$ คือความผิดพลาดของเอาท์พุตในรอบปัจจุบัน

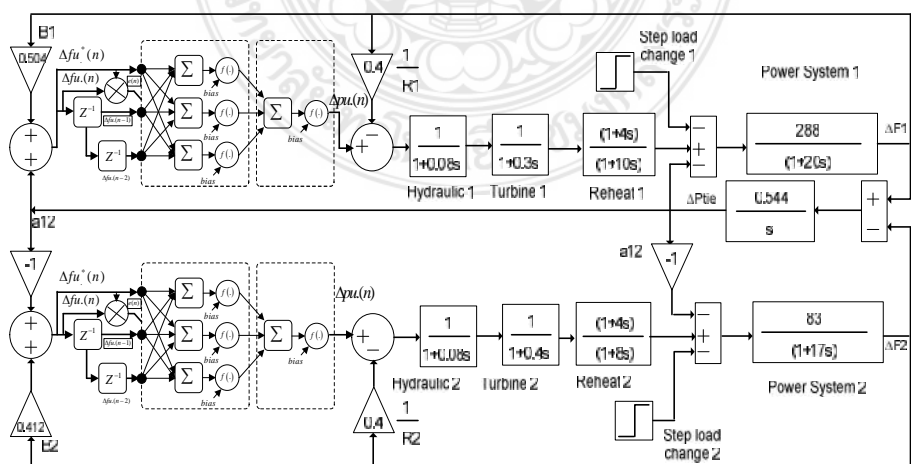
y_j คือสัญญาณอินพุต

S_j คือเอาท์พุตของผลรวมเชิงเส้น

B_j คือไบแอส



รูปที่ 8 โครงสร้างของโครงข่ายประสาทเทียม



รูปที่ 9 รูปปัํดอะแกรมวงจรควบคุมแบบ Artificial Neural Network Controller

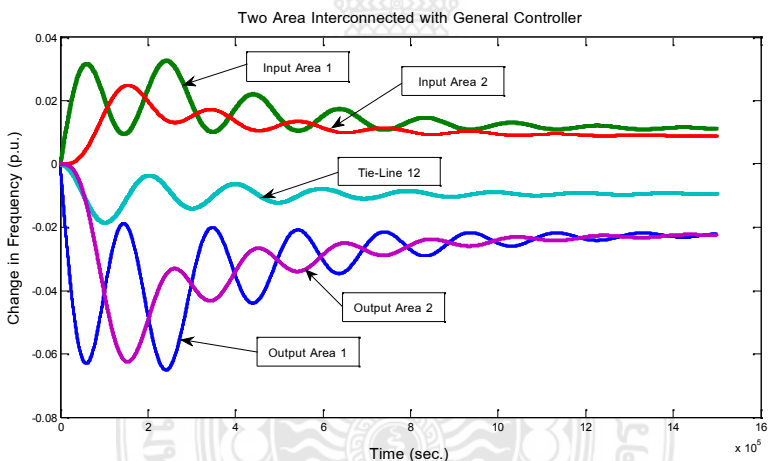
2.2 การออกแบบ Parameter

ในการจำลองการควบคุมความถี่-โหลดของระบบไฟฟ้าเชื่อมโยงแบบสองพื้นที่ด้วยคอมพิวเตอร์โดยใช้โปรแกรม Simulink ของ Matlab ซึ่งระบบที่จำลองขึ้นนี้ประกอบด้วยระบบไฟฟ้าพลังงานความร้อนเชื่อมโยงสองพื้น โดยการจำลองระบบโรงไฟฟ้าพลังงานความร้อน 3 เป็น AREA 1 และโรงไฟฟ้าที่ 4 เป็น AREA 2 โดยเลือกใช้การเปลี่ยนแปลงของโหลดแบบทันทีทันใด (Step Load)

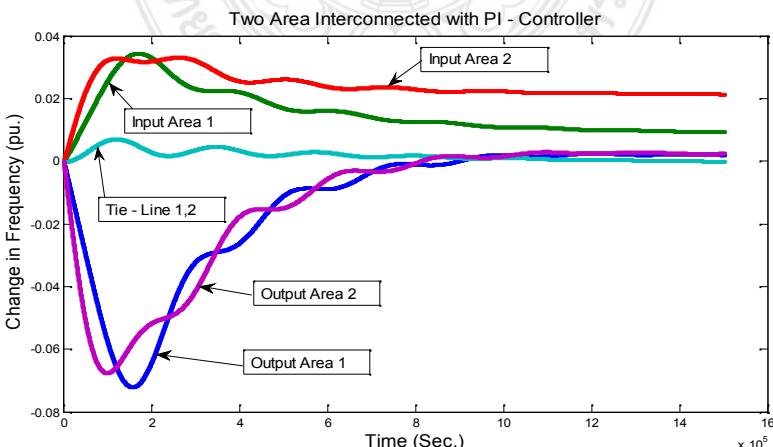
ค่าตัวแปร Parameters โดยที่ $T_{h1}=T_{h2}=0.08\text{s.}$, $T_{t1}=0.3\text{s.}$, $T_{t2}=0.4\text{s.}$, $T_{p1}=34\text{s.}$, $T_{p2}=17\text{s.}$, $R_1=2.5\text{pu. MW/Hz.}$, $R_2=2\text{pu. MW/Hz.}$, $KP_1=288 \text{ Hz./pu.MW.}$, $KP_2=83 \text{ Hz./pu.MW.}$, $T_{12}=0.544.$, $B_1=0.412 \text{ pu.MW/Hz.}$, $B_2=0.504 \text{ pu.MW/Hz.}$, $a_{12}=-1.$, $\Delta Pd_1=0.02\text{pu.}$, $Kr_1=0.4\text{Hz./pu.MW.}$, $Kr_2=0.5\text{Hz./pu.MW.}$, $Ki_1=Ki_2=0.2 \text{ Hz./pu.MW.}$, $T_r_1=10\text{s.}$, $T_r_2=8\text{s.}$

3. ผลการทดลองและวิเคราะห์ผล

ผลการจำลองระบบกรณีเมื่อมีการเปลี่ยนแปลงโหลดที่เกิดขึ้นในพื้นที่ Area 1 เป็น 0.02 ต่อหน่วย หรือ 1.75 เมกะวัตต์และมีการเชื่อมต่อกันระหว่างพื้นที่สองพื้นที่สองพื้นที่จะแสดงผลได้ทั้งในพื้นที่ Area 1, Area 2, และ Tie - Line 1,2 ดังรูป

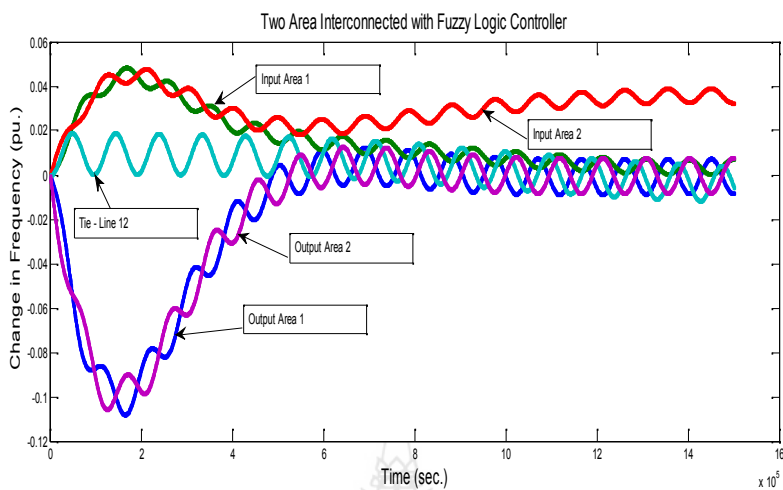


รูปที่ 10 กราฟแสดงความสัมพันธ์ของการควบคุมความถี่-โหลดกรณีเมื่อตัวควบคุม

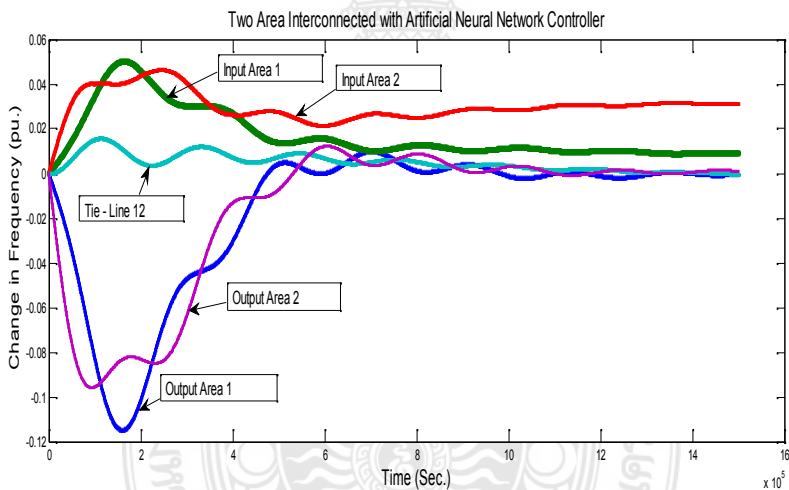


รูปที่ 11 กราฟแสดงความสัมพันธ์ของการควบคุมความถี่-โหลดกรณีใช้ตัวควบคุมแบบพีไอ

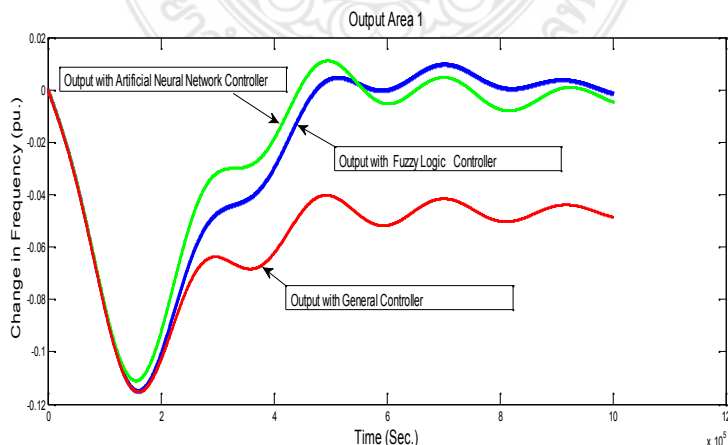
วารสารวิชาการและวิจัย มทร.พระนคร ฉบับพิเศษ
การประชุมวิชาการมหาวิทยาลัยเทคโนโลยีราชมงคล ครั้งที่ 5



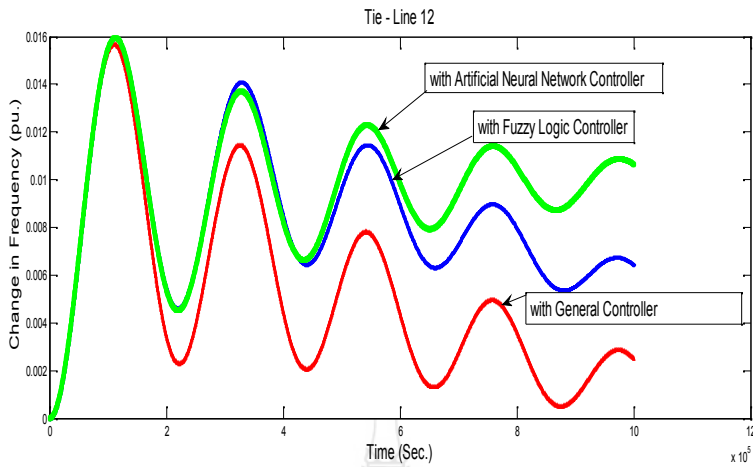
รูปที่ 12 กราฟแสดงความสัมพันธ์ของการควบคุมความถี่-โหลดกรณีใช้ตัวควบคุมแบบฟิชเชอร์ลิก



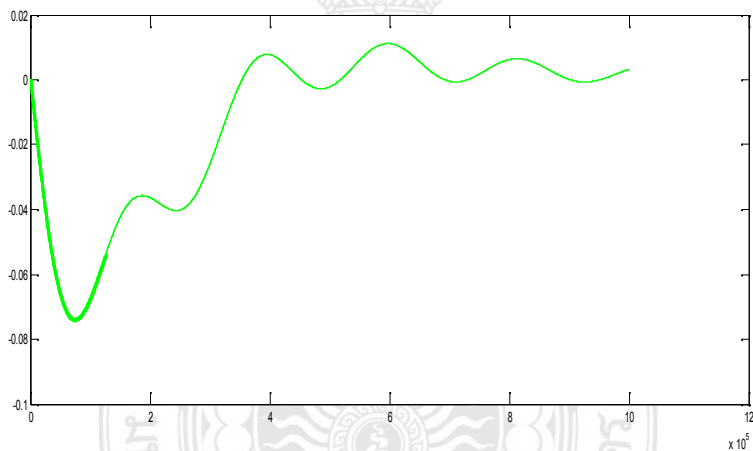
รูปที่ 13 กราฟแสดงความสัมพันธ์ของการควบคุมความถี่-โหลดกรณีใช้ตัวควบคุมแบบโครงข่ายประสาบที่ย่อม



รูปที่ 14 กราฟแสดงความสัมพันธ์ของการควบคุมความถี่-โหลดทางด้าน Out Put Area 1



รูปที่ 15 กราฟแสดงความสัมพันธ์ของการควบคุมความถี่-โหลดทางด้าน Tie - Line 1,2



รูปที่ 16 กราฟแสดงความสัมพันธ์ของการควบคุมความถี่-โหลดทางด้าน Out Put Area 2

4. สรุป

บทความนี้นำเสนอการจำลองศึกษาการวิเคราะห์การควบคุมความถี่ของโหลดแบบสองพื้นที่โดยเปรียบเทียบการไม่ใช้ตัวควบคุมความถี่-โหลดกับการใช้ตัวควบคุมความถี่-โหลดแบบพืชชีล็อกจิกและแบบตัวควบคุมโครงข่ายประสาทเทียม โดยใช้โปรแกรม MATLAB/SIMULINK เป็นเครื่องมือในการวิเคราะห์และเปรียบเทียบผลจำลองระบบของโรงไฟฟ้าพลังงานความร้อนทั้งสองที่มีการจ่ายกำลังไฟฟ้ารวม 47.55 เมกะวัตต์ โดยให้มีการเปลี่ยนแปลงโหลดที่โรงไฟฟ้า No.3 เท่ากับ 0.02 ต่อหน่วย หรือ 1.75 เมกะวัตต์ ซึ่งจากการทดลองผลตอบสนองของระบบที่มีการใช้ตัวควบคุมแบบโครงข่ายประสาทเทียมสามารถเพิ่มประสิทธิภาพของการควบคุมความถี่ได้เวลาในการเข้าสู่สภาวะเสถียรภาพของการควบคุมความถี่ของโหลดน้อยกว่าแบบไม่ใช้ตัวควบคุมและแบบพืชชีล็อกจิก และอัตราการเปลี่ยนแปลงของความถี่น้อยกว่าทำให้ระบบดีขึ้น นั่นแสดงให้เห็นว่าการจำลองระบบมหาวิเคราะห์ปรับปรุงเพื่อพัฒนาและแก้ปัญหาเสถียรภาพการควบคุมความถี่-โหลดของระบบไฟฟ้าที่เกิดขึ้นในระบบจริงได้

5. กิตติกรรมประกาศ

ขอขอบคุณบริษัท ไทยเพาเวอร์ซับพลาย จำกัด ที่ได้อี๊อฟีของมูลของโรงไฟฟ้าพลังงานความร้อน 3 และ 4 เขตอุตสาหกรรมแหลมสาขา จ.ฉะเชิงเทรา และ สาขาวิชาวิศวกรรมไฟฟ้า คณะวิศวกรรมศาสตร์ มหาวิทยาลัยเทคโนโลยีราชมงคลล้านนา ตาก ที่ได้อี๊อฟีสถานที่ทำการทดลองวิจัย

6. เอกสารอ้างอิง

- K.S.S.Ramakrishna,T.S. Bhatti **Load frequency control of interconnected hydro-thermal power system.** International Conference on Energy and Environment 2006 (ICEE 2006), Selangor,Malaysia,28-29 Aug.2006.
- A.Sreenath,Y.R.Atre,D.R.Patil, **Two Area Load Frequency Control with Fuzzy Gain Scheduling of PI-Controller.** IEEE 2008 DOI 10.1 109/ICETET.2008.255.
- Ilham Kocaarslan,Ertugrul Cam,Hasan Tiryaki,M.Cengiz Taplamacioglu, **A Fuzzy PI Controller Application in Boilers of Thermal Power Plants.** Department of Electrical Engineering,Faculty of Engineering,Kirikkale University,Yahsihan,Kirikkale 71450,Turkey. Energy Conversion and Management 2005.
- S.Yukhalang and K.Bhumkittipich, **Load Frequency Control of Interconnected Power System by Using Fuzzy Logic Controller.** The3rd International conference on Sustainable Energy and Green Architecture (SEGA 03, RE-22).2012.
- Panna Ram, A.N.Jha. **Automatic Generation Control of Interconnected Hydro – Thermal System in Deregulated Environment Considering Generation rate Constraints.** IEEE 2010.International Conference on Industrial Electronics, Control and Robotics 2010.
- สวัสดิ์ ยุคคลัง และ ฤทธิ์ชัย ภูมิกิตติพิชญ์. การเปรียบเทียบการควบคุมความถี่ – โหลดของระบบไฟฟ้าเชื่อมโยงระหว่างตัวควบคุมปีโอลและฟิซิลوجิก. The35th Electrical Engineering Conference (EECON-35,PW-19).
- สันติภาพ โคงทะล และ อุดม เครือเทพ. พืดับบลิวเอ็มคอนเวเตอร์ชนิดคู่ที่ควบคุมแรงดันด้วยโครงข่ายประสาทเทียม. The32th Electrical Engineering Conference (EECON-32,PE-23).
- D.M.Vinod Kumar, **Intelligent Controllers for Automatic Generation Control.** IEEE Transaction on Power Systems, 0-7803-4886-9/98.1998.